

УДК 621.77

Ю. Д. САВЕНКОВ*, С. В. ГРИДИН, (канд. техн. наук, доц.),**

Е. В. ШТЕПАН, (канд. техн. наук.), В. Е. УХИН**,**

А. В. КРАВЧЕНКО, А. П. ВЕРЗИЛОВ****

* - ОАО «Артемовский завод по обработке цветных металлов»,

** - ГВУЗ «Донецкий национальный технический университет»

ИССЛЕДОВАНИЕ ПРОЦЕССА ФОРМИРОВАНИЯ ПРЯМОУГОЛЬНОГО СЛИТКА ПРИ ПОЛУНЕПРЕРЫВНОЙ РАЗЛИВКЕ МЕДИ

В настоящее время конкурентоспособность предприятия-производителя медной продукции во многом зависит от качества выпускаемой им продукции. Важным элементом обеспечения качества медного проката является процесс перевода жидкого продукта в твердую заготовку. Применительно к условиям ОАО «Артемовский завод по производству цветных металлов» одним из способов разливки меди является полунепрерывное литье на МПНЛЗ.

Концептуальная модель процесса полунепрерывного литья меди может быть представлена следующим алгоритмом: «оптимизация скорости литья слитка» → «тепловой баланс на участке плавильная печь – переливное устройство – кристаллизатор» → «оптимизация работы кристаллизатора» → «динамическое управление зоной вторичного охлаждения» → «оптимизация технологической длины установки полунепрерывного литья» → «прогнозирование качества заготовки» → «поддержание эксплуатационных кондиций установки полунепрерывного литья».

В этой цепочке для обеспечения высокой производительности установки полунепрерывного литья и качества поверхности слитков огромное значение имеет оптимизация геометрической формы и тепловой работы кристаллизатора.

Особенности теплопередачи, механизмы и поведение затвердевания

в водоохлаждаемых медных кристаллизаторах относятся к наиболее важным процессам, происходящим в ходе литья плоских медных слитков и влияющим на качество получаемых слитков.

Механизм образования усадки в металлических заготовках широко освещен в научно-технической литературе [1-4]. Так, установлено, что усадка в зоне кристаллизатора приводит к отходу слитка от стенок кристаллизатора и образованию между ними газового зазора. При этом резко сокращается теплоотвод от проходящих турбулентных потоков внутри затвердевающего дендритного каркаса слитка, что приводит к развитию неравномерной кристаллизации в поперечном сечении затвердевающего слитка: зазор может достигать нескольких миллиметров, а толщина корочки практически не увеличивается, создавая дополнительные условия для образования трещин. Различная температура слоев корочки металла вызывает различную величину усадку и деформацию этих слоев.

Устранение (или сокращение до минимума) воздушного зазора, и соответственно, оптимизацию теплопередачи, можно осуществить путем максимального приближения контура кристаллизатора к поверхности твердой корочки непрерывного слитка. Другими словами в течение процесса разливки стенки кристаллизатора должны иметь такую конусность, которая обеспечит контакт стенок с затвердевающей оболочкой металла во время охлаждения и усадки заготовки.

Оптимальная конусность обеспечивает равномерный теплообмен между кристаллизатором и поверхностью заготовки без применения дополнительных контактных усилий к горячей и непрочной оболочке.

Недостаточная конусность ухудшает тепловой поток по линии раздела кристаллизатор/заготовка, приводя к образованию более тонкой, неравномерной и, следовательно, непрочной оболочки [5-7]. Недостаточная конусность может явиться причиной разрывов сплошности оболочки, при которых жидкий металл прорывает оболочку, что негативно сказывается на качестве заготовки, способствуя появлению «продольных» и «поперечных» поверхностных и подповерхностных трещин, а также наплывов (рис. 1) [7].

Излишняя конусность также приводит к ряду технических проблем, в том числе повышенному износу кристаллизатора (таблица 1), а также к увеличенному трению, которое вызывает осевые растягивающие напряжения. Они, в свою очередь способствующего образованию поперечных трещин и даже короблению широкой грани и формированию ужимин [8].

В современных конструкциях кристаллизаторов используется, как правило, переменная по высоте конусность, обеспечивающая «огибание» внутренней поверхностью кристаллизатора поверхности затвердевающей заготовки. Для компенсации усадки твердой оболочки по широкой грани, в

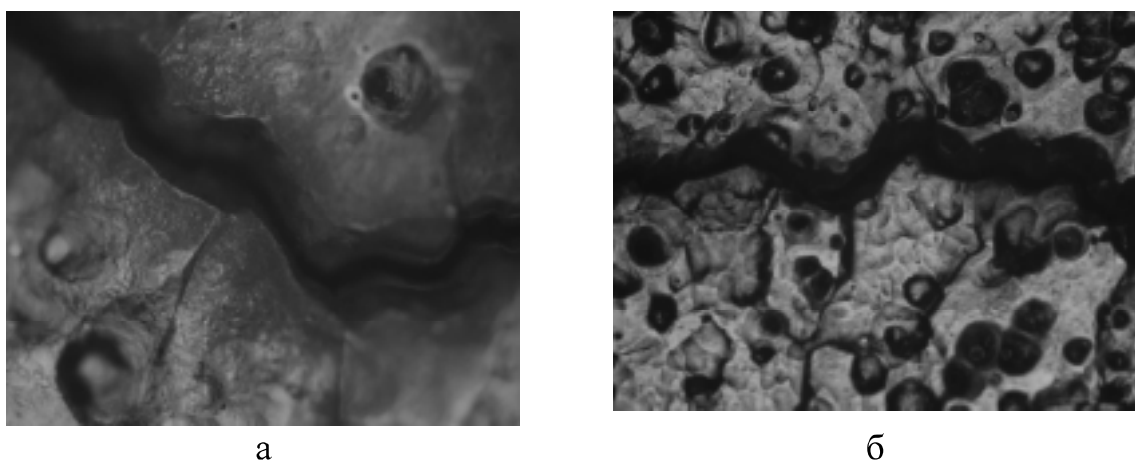
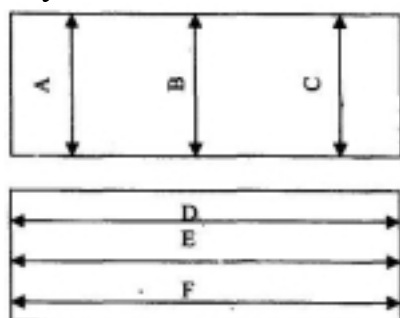


Рисунок 1 - Межкристаллитные продольная (а) и поперечная (б) трещины, вскрывшиеся в результате обработки шарошкой надрыва на поверхности слитка

Таблица 1 - Изменение размеров плоского кристаллизатора после эксплуатации



Место замера на кр – ре	Обозначение	Размер, мм
Верх	A	208,35
	B	208,95
	C	208,32
Середина	A	208,32
	B	209,95
	C	208,34
Низ	D	608,0
	E	607,81
	F	606,85
	A	208,1
	B	208,85
	C	207,36

основном обусловленной температурной деформацией, которая регулируется теплопередачей в кристаллизаторе, необходима определенная конусность узких граней кристаллизатора. Конусность широких граней в результате усадки узких граней не является решающей, поскольку длинная непрочная оболочка склонна к выпучиванию (к деформации) вследствие металlostатического давления для контакта с широкой гранью. Исключения составляют лишь участки вблизи углов заготовки.

При определении рациональных геометрических размеров кристаллизатора все большее практическое значение приобретают методы физического и особенно математического моделирования процессов затвердевания. В конечном счете, такие математические модели обеспечивают суще-

ственное энерго- и ресурсосбережение за счет повышения выхода годной продукции и снижения затрат расходуемых материалов. В настоящей работе решение проблемы оптимизации тепловой работы кристаллизатора выполняется путем построения математической модели затвердевания и усадки заготовки. Задача позволяет выполнять оценку влияния скорости литья, геометрических параметров кристаллизатора и размеров плоского слитка на его термическую усадку и температуру на выходе из него.

Построение математической модели усадки в плоском слитке и исследование с ее помощью влияния параметров литья и кристаллизатора на термоусадку слитка осуществлялось по следующей схеме.

Тепловые процессы в слитке описываются с помощью уравнения теплопереноса:

$$c \frac{\partial \theta}{\partial F} + 1 - \xi \frac{\partial \psi}{\partial y} \frac{\partial \theta}{\partial x} - 1 - \xi \frac{\partial \psi}{\partial x} \frac{\partial \theta}{\partial y} = \lambda \left(\frac{\partial \theta}{\partial x} + \frac{\partial \theta}{\partial y} \right), \quad (1)$$

где c — эффективная теплоемкость;

θ — безразмерная температура;

c — теплоемкость в жидкой фазе расплава;

ψ — скрытая теплота кристаллизации;

λ — эффективный коэффициент теплопроводности;

λ_1, λ_2 — коэффициенты теплопроводности в жидкой и твердой фазах.

Расчет доли твердой фазы производится по методу Никитенко Н.И. по следующей формуле[2]:

$$\psi = \frac{1 - \sqrt{1 - 4 \frac{\lambda_1}{\lambda_2} \frac{F}{F_0}}}{2 \frac{\lambda_1}{\lambda_2}}, \quad (2)$$

Границные условия для температуры:



где $, Bi_i, Bi_f$ – числа Био для областей кристаллизатора, зоны вторичного охлаждения и на границе воздух–поверхность слитка [9];
 h_i, h_f, h_a – высоты теплового насадка, активной зоны кристаллизатора и зоны вторичного охлаждения.

Приведенные уравнения представляют собой комплексную математическую модель теплообменных процессов в формирующемся литом плоском слитке.

Суммарный тепловой поток в кристаллизаторе может быть определен с учетом скорости разливки, температуры литья и размеров кристаллизатора.

После решения задачи теплообмена выполняется численная реализация математической модели усадки слитка и исследование с ее помощью влияния скорости литья, размеров слитка на его термоусадку по следующей схеме.

Для расчетов усадки применялись средние значения коэффициента линейного расширения α , т.к. известно, что в инженерной практике для подсчета напряжений, возникающих в металле при изменении его температуры, необходимо использовать истинные коэффициенты расширения α , а для подсчета изменения размеров тела вследствие термического расширения удобно использовать средние значения α [1, 10].

Для исследования оптимальной конусности плоского кристаллизатора путем определения усадки затвердевающей медной оболочки применялась конечноэлементная упругая вязкопластичная модель термического напряжения «*Cukrist*». Модель позволяет вычислить конечноэлементную дискретизацию 2D уравнения теплопроводности переходного состояния в системе отсчета Лагранжа, которая движется по МПНЛЗ вместе с затвердевающей медной оболочкой.

В процессе выполненных исследований оценивалось влияние на ко-

нусность скорости вытяжки заготовки, интенсивности теплоотвода, а также длины кристаллизатора. Наряду с этим, была предпринята попытка учесть влияние гидродинамических процессов, происходящих при заливке металла в кристаллизатор. С этой целью в математическую модель были введены поправки, учитывающие влияние на динамику затвердевания вышеуказанных процессов. Исследования проводились с помощью физической модели, схема которой представлена на рис. 2.

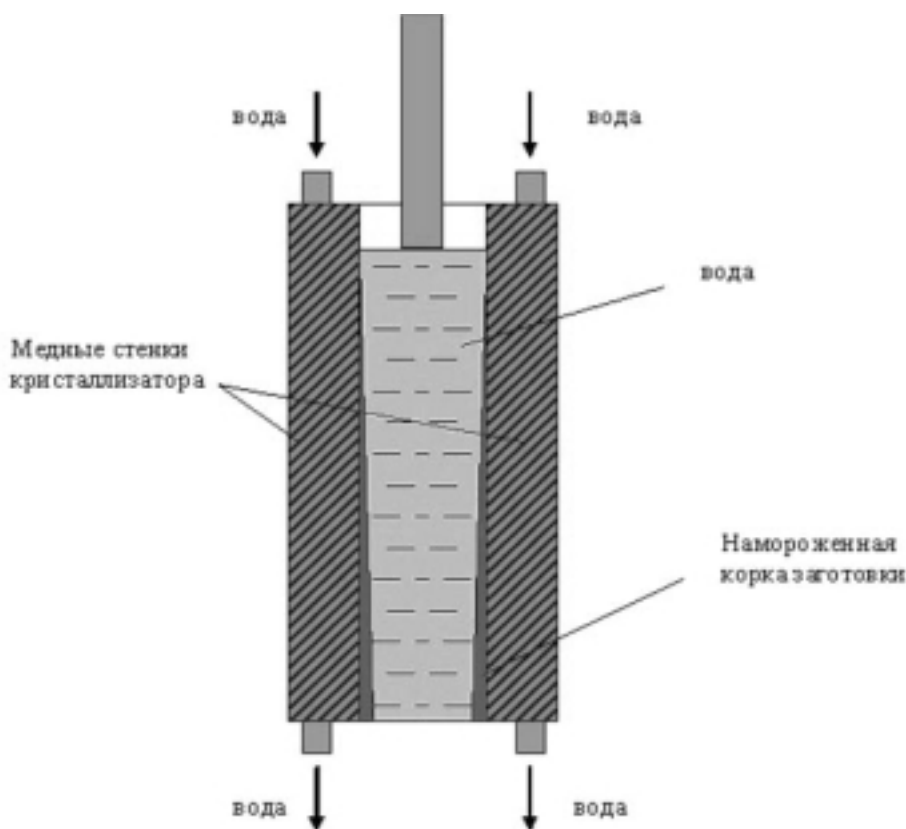


Рисунок 2 - Схема модели для изучения влияния потоков меди на корочку затвердевшей заготовки

Плоская модель представляла собой кристаллизатор, передняя и задняя стенка которого были изготовлены из органического стекла, обеспечивающего приемлемые условия наблюдения, а две другие стенки – из полого медного профиля, в полости которого циркулировала вода для охлаждения заготовки. На подготовительном этапе моделирования в водоохлаждаемый кристаллизатор заливался расплавленный тиосульфат натрия и на медных стенках намораживался слой твердой корочки, после чего жидкий остаток выливался. На втором этапе в полость кристаллизатора по-

давали воду, струя которой, имитируя струю жидкого металла, размывала твердую корочку тиосульфата натрия.

С целью наиболее точной оценки влияния потоков на корочку затвердевающей заготовки процесс моделирования снимали цифровой видеокамерой, что позволило выбирать наиболее характерные моменты разливки и определять скорости движения потоков в полости кристаллизатора.

В результате физического моделирования были получены данные о локальном износе затвердевшей корочки потоками расплава, которые, будучи внесенными в виде поправок в математическую модель формирования слитка, позволили учесть влияние потоков на динамику усадки.

Исследование с помощью вышеописанной математической модели динамики усадки плоских слитков выполнялось в несколько этапов, что дало возможность систематизировать степень влияния исследуемых параметров. Расчет велся с учетом следующих параметров кристаллизатора:

- расчетные размеры слитка – 208×610мм;
- длина гильзы 395мм (плоский слиток);
- толщина торцевой стенки кристаллизатора – 38 мм, боковой – 32 мм;
- толщина ребра на торцевой и боковой стенках кристаллизатора – 4 мм;
- число ребер на торцевой стенке – 12 шт., на боковой – 40 шт;
- вторичное охлаждение с выходом воды на слиток;
- расход воды составляет 9,8 м /час (торцевая стенка), 20,3 м /час (боковая стенка);

На первом этапе исследовалось влияние скорости литья на термоусадку слитка. В расчетах варьировалась скорость литья и расходы воды на стенки кристаллизатора.

Далее исследовалось влияние величины оребрения боковой и торцевой сторон кристаллизатора усадки на теплообмен и толщину слитка в зоне кристаллизатора. При этом было принято, что оребрение стенок кристаллизатора позволяет не просто повысить жесткость конструкции, а также обеспечит некоторое изменение интенсивности отвода тепла.

Из анализа результатов расчетов установлено следующее:

-увеличение скорости литья приводит к уменьшению усадки слитка (увеличение скорости от 0,127 м/мин до 0,132 м/мин снижало, например, усадку в зоне кристаллизатора в среднем на 0,4÷0,6 мм);

-увеличение расхода охлаждающей воды на торцевую стенку при неизменном расходе на широкую стенку приводит к увеличению усадки слитка на узкой стороне кристаллизатора в его верхней части в среднем на

1 мм, в нижней части в среднем на 0,5 мм;

-увеличение расхода охлаждающей воды на боковую стенку при неизменном расходе на узкую стенку не приводит к существенному увеличению усадки слитка как на широкой, так и на узкой сторонах кристаллизатора, что подтверждает тот факт, что величины расходов воды, используемые на исследуемых объектах являются близкими к рациональным для исследуемой области разливки;

-увеличение технологической длины кристаллизатора ухудшает условия формирования и охлаждения слитка, поскольку в этом случае происходит увеличение абсолютного размера величины усадки, что может приводить к локальному отхождению поверхности заготовки от стенки кристаллизатора и появлению зазора, препятствующего отводу тепла.

Для повышения эффективности работы кристаллизатора предлагается внутреннюю поверхность нового кристаллизатора выполнить с учетом поправки на естественную усадку литого слитка, т.е. с переменной по высоте конусностью параболического профиля по торцевой стороне кристаллизатора.

Для нижней части кристаллизатора конусность должна составлять 0,24%÷0,48% (2÷3мм), а в верхней (до 20 см от мениска) – принятая равной 0,72%÷0,96% (4÷6мм) с учетом предупреждения возможного заклинивания слитка (или повреждения внутренней поверхности кристаллизатора) при максимальной скорости литья (рис.2.9, расчеты произведены для варианта конусности в нижней части кристаллизатора – 2 мм, в верхней части – 4 мм, высота верхней части – 240 мм от верха кристаллизатора).

Список литературы

1. Thermal shrinkage model and roller taper experiments for a continuously cast steel slab / H. Kytonen, S. Louhenkilpi, J. Laine // CCS 2000 – Technology. Modeling. Defects of CCS ingots. - Linz / Austria, 2002, p. 183-191.
 2. . . . , 1988. -160 .
 3. . . . , 1956.
 4. . . . , 1974.
 5. Thomas B., Ojeda C. Ideal Taper Prediction for Dlab Casting // Proc. ISSTech Steelmaking Conference, Indianapolis, IN, USA, April 27-30, 2003. – Warrendale, PA: ISS-AIME, 2003. – P.295-308.
 6. Wolf M. Mold Length in Slab Casting – a Review// Iron and Steelmaker. 1996. Vol.23. – P.41-51.
 7. Prevention of Shell Thinning Breakouts Associated with Widening Width Changes / G.D.Lawson, S.C.Sander, W.H.Emling e.a // Proc. Steelmaking Conf. Chicago, IL. - Warrendale, PA: ISS, 1994. – P.329-336.

05.10.2009.

• 2

* - « »,
** - « »;

- * - AZOZM,
** - SHSI «Donetsk National Technical University»

- With physical and mathematical simulation copper slab forming process has been investigated. The influence of the technological and hydrodynamics factors on the slab shrinkage has been studied.

© Ю. Д. Савенков, С. В. Гридин, Е. В. Штепан,
В. Е. Ухин, А. В. Кравченко, А. П. Верзилов, 2009